

XV Simpósio de Plantas Medicinais do Brasil, outubro 1998, Águas de Lindóia, SP.

SILVA, R.L.; MELO, G. B.; ANTONIOLLI, A.R.; LIMA, S.O.; MELO, V.A.; RAMALHO, F.S.; RAMALHO, L.N.Z.; ZUCOLOTO,S. Effect of the aqueous extract of *Hyptis pectinata* on hepatocyte proliferation after partial hepatectomy. **Acta Cirúrgica Brasileira**, v.17, n.3, p.101-105, 2002.

SILVEIRA, I.; RAISER, A.G. Controle microbiológico dos efeitos in vivo de duas apresentações da própolis em feridas contaminadas de cães. **Veterinária Notícias**, v.1, n.1, p.11-17, 1998.

SINGH, R.; RADH, R.K. Fungitoxic activity of the volatile oil of *Hyptis suaveolens*. **Fitoterapia** , v.63, n.5, 462-465, 1992.

SOUZA, L.K.H.; OLIVEIRA, C.M.A.; FERRI, P.H.; SANTOS, S.C.;MIRANDA, A.T.B.; LIÃO, L.M.; SILVA, M.R.R. Antifungal properties of Brazilian cerrado plants. **Brazilian Journal of Microbiology**, v.33, n.1, 247-249, 2002.

SVENDSEN, A.B.; SCHEFFER, J.J.C. Natural products in therapy. **Pharmaceutisch Weekblad Scientific Edition**, v.4, 1982.

SWAIM, S.F.; GILLETE, R.L. An update on wound medications and dressings. **Compendium on Continuing Education for the Practicing Veterinarian**, v.20, n.10, p.1133 -1144, 1998.

TEVES, D.C., SIMÕES, M.J., MARTINS, D.M.F.S., MARCHINI, F.B. Aspectos morfológicos dos processos de cicatrização em ratos albinos sob ação da colagenases. **Folha Médica**, v.98, n.1, p.191-194, 1989.

TRUEBA, G.P.; SANCHEZ, G.M. Los flavonoides como antioxidants naturals. **Acta Farmacia Bonaerense**, v.20, p.297-306, 2001.

VAISBERG, A.J. Taspine is the cicatrizant principle in sangre de Grado extratedected from *Croton lechleri*. **Planta Medica**, v.55, n.2, p.140 -143, 1989.

WILLIANS, J.E. Review of antiviral and immunomodulating properties of plants of the the Peruvian rainforest with a particular emphasis on una de gato and sangre de drago. **Alternative Medicine Review**, v.3, n.3, p.14 -17, 2002.

VII. APÊNDICE

Apêndice 1. Avaliação microscópica dos fragmentos de pele dos animais do grupo I (GI) da presença de tecido de granulação, colágeno, polimorfonucleares, mononucleares, fibroblasto e reepitelização, nos períodos de 3, 7, 14 e 21 dias de pós-operatório. Uberlândia, 2005.

Grupo	Animais	Tecido de Granulação	Colágeno	PMN	MNO	Fibroblasto	Reepitelização
GI 3ºd	01	1	0	1	1	1	1
GI 3ºd	02	1	0	1	1	1	1
GI 3ºd	03	0	0	1	1	1	1
GI 3ºd	04	0	0	1	1	0	1
GI 3ºd	05	0	0	1	1	1	1
GI 3ºd	06	0	0	2	2	1	1
GI 7ºd	07	1	1	2	2	2	2
GI 7ºd	08	1	1	2	2	2	1
GI 7ºd	09	2	2	1	2	3	3
GI 7ºd	10	2	1	2	3	3	2
GI 7ºd	11	1	3	0	1	3	3
GI 7ºd	12	2	1	2	1	2	2
GI 14ºd	13	1	1	1	2	3	3
GI 14ºd	14	2	2	1	2	3	3
GI 14ºd	15	2	1	1	2	1	2
GI 14ºd	16	3	2	2	3	3	2
GI 14ºd	17	1	2	0	1	2	3
GI 14ºd	18	-	-	-	-	-	-
GI 21ºd	19	2	3	2	1	3	3
GI 21ºd	20	2	2	0	1	2	3
GI 21ºd	21	1	2	0	0	2	3
GI 21ºd	22	1	1	0	1	1	3
GI 21ºd	23	1	1	0	1	1	3
GI 21ºd	24	1	-	-	-	-	-

0: ausência de alteração; “1” alterações leves, “2” alterações moderadas, “3” alterações intensas, (-) não foi possível observar a lâmina, PMN: polimorfonucleares, MNO: mononucleares.

Apêndice 2. Avaliação microscópica dos fragmentos de pele dos animais do grupo II (GII) da presença de tecido de granulação, colágeno, polimorfonucleares, mononucleares, fibroblasto e reepitelização, nos períodos de 3, 7, 14 e 21 dias de pós-operatório. Uberlândia, 2005.

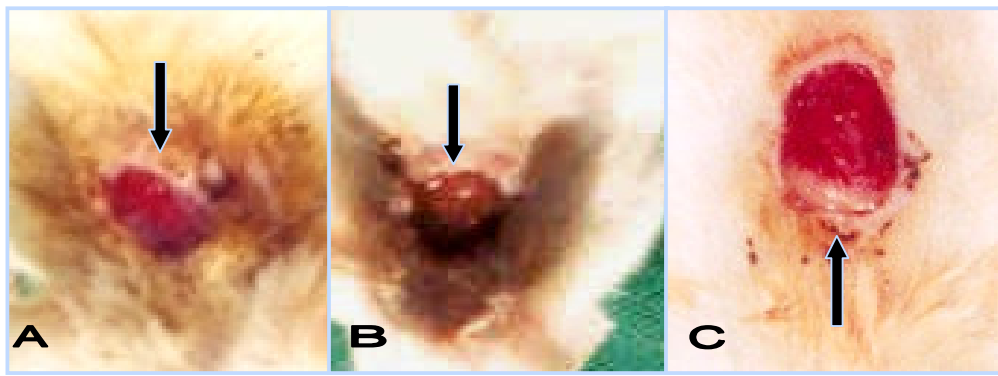
Grupo	Animais	Tecido de Granulação	Colágeno	PMN	MNO	Fibroblasto	Reepitelização
GII 3°d	01	0	0	1	1	1	1
GII 3°d	02	0	0	1	1	1	1
GII 3°d	03	0	0	1	1	1	1
GII 3°d	04	1	1	1	1	1	1
GII 3°d	05	1	1	1	1	1	1
GII 3°d	06	1	1	1	1	1	1
GII 7°d	07	3	1	2	2	2	1
GII 7°d	08	-	-	-	-	-	-
GII 7°d	09	2	1	1	2	2	1
GII 7°d	10	2	2	1	1	2	2
GII 7°d	11	2	1	1	2	2	1
GII 7°d	12	2	2	2	1	3	2
GII.14°d	13	2	3	0	1	3	3
GII.14°d	14	1	2	0	1	2	3
GII.14°d	15	2	3	1	1	3	3
GII.14°d	16	-	-	-	-	-	-
GII.14°d	17	1	2	0	0	3	3
GII.14°d	18	2	2	0	1	2	3
GII 21°d	19	1	3	1	1	2	3
GII 21°d	20	1	2	0	0	1	3
GII 21°d	21	-	-	-	-	-	-
GII 21°d	22	2	3	1	1	2	3
GII 21°d	23	2	3	0	1	2	3
GII 21°d	24	1	3	0	1	2	3

0: ausência de alteração; “1” alterações leves, “2” alterações moderadas, “3” alterações intensas, (-) não foi possível observar a lâmina, PMN: polimorfonucleares, MNO: mononucleares.

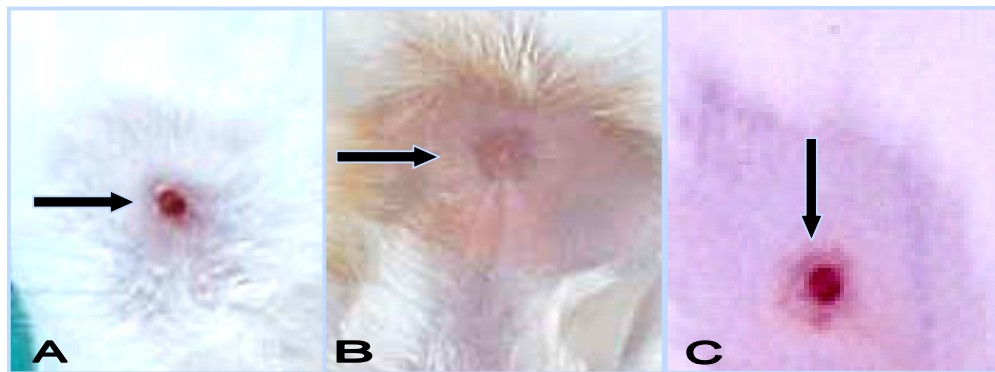
Apêndice 3. Avaliação microscópica dos fragmentos de pele dos animais do grupo III (GIII) da presença de tecido de granulação, colágeno, polimorfonucleares, mononucleares, fibroblasto e reepitelização, nos períodos de 3, 7, 14 e 21 dias de pós-operatório. Uberlândia, 2005.

Grupo	Animais	Tecido de Granulação	Colágeno	PMN	MNO	Fibroblasto	Reepitelização
GIII 3ºd	01	0	0	3	1	1	1
GIII 3ºd	02	2	1	3	2	2	1
GIII 3ºd	03	1	0	1	1	1	1
GIII 3ºd	04	1	0	2	1	1	1
GIII 3ºd	05	1	0	2	1	1	1
GIII 3ºd	06	1	0	2	1	1	1
GIII 7ºd	07	1	0	2	2	1	1
GIII 7ºd	08	3	1	1	2	1	1
GIII 7ºd	09	2	1	1	2	2	1
GIII 7ºd	10	2	2	1	1	2	2
GIII 7ºd	11	2	1	1	2	2	1
GIII 7ºd	12	2	2	2	1	3	2
GIII 14ºd	13	2	3	0	1	3	3
GIII 14ºd	14	1	2	0	1	2	3
GIII 14ºd	15	2	3	1	1	3	3
GIII 14ºd	16	-	-	-	-	-	-
GIII 14ºd	17	1	2	0	0	3	3
GIII 14ºd	18	2	2	0	1	2	3
GIII 21ºd	19	1	3	1	1	2	3
GIII 21ºd	20	1	2	0	0	1	3
GIII 21ºd	21	-	-	-	-	-	-
GIII 21ºd	22	2	3	1	1	2	3
GIII 21ºd	23	2	3	0	1	2	3
GIII 21ºd	24	1	3	0	1	2	3

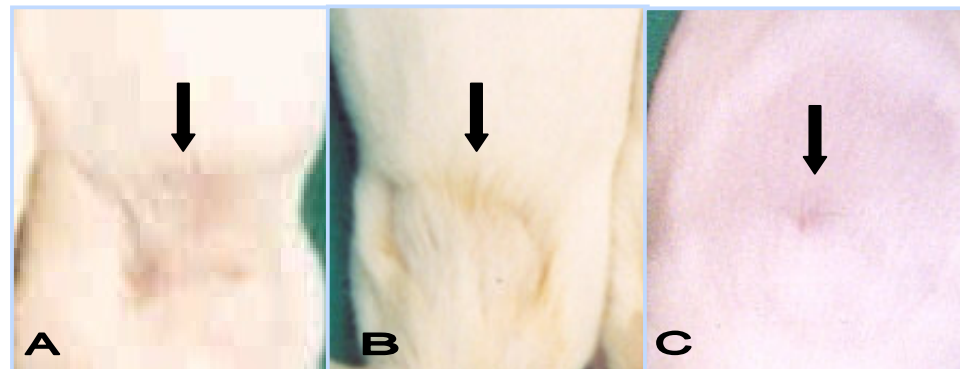
0: ausência de alteração; “1” alterações leves, “2” alterações moderadas, “3” alterações intensas, (-) não foi possível observar a lâmina, PMN: polimorfonucleares, MNO: mononucleares.



Apêndice 4. Aspecto da ferida experimental na região dorsal do tórax de camundongos do G I (A), G II (B) e G III (C) no 7º dia de PO. As flechas pretas indicam o local da lesão.



Apêndice 5. Aspecto da ferida experimental na região dorsal do tórax de camundongos do G I (A), G II (B) e G III (C), no 14º dia de PO. As flechas pretas indicam o local da lesão.



Apêndice 6. Aspecto da ferida experimental na região dorsal do tórax de camundongos no 21º dia de PO, mostrando total



Apêndice 7. Exemplar da árvore *Croton urucurana* na região de Cruzeiro dos Peixotos, município de Uberlândia, MG, 2005.



Apêndice 8. Exemplar do arbusto *Hyptis suaveolens* na região de Cruzeiro dos Peixotos, município de Uberlândia-MG, 2005.



Apêndice 9. Exemplares do arbusto *Hyptis suaveolens* na região de Cruzeiro dos Peixotos, município de Uberlândia-MG, 2005.



Apêndice 10. Exemplar do arbusto de *Hyptis suaveolens*, na região de Cruzeiro dos Peixotos, município de Uberlândia-MG, 2005.